

Transformace obrazu

Pavel Strachota

FJFI ČVUT v Praze

16. listopadu 2012

Obsah

- 1 Interpolace
- 2 Geometrické transformace obrazu
- 3 Alpha-blending, warping, morphing

Obsah

- 1 Interpolace
- 2 Geometrické transformace obrazu
- 3 Alpha-blending, warping, morphing

Interpolace v 1D

- množina n diskrétních vzorků hodnot funkce (signálu) $f : [a, b] \mapsto \mathbb{R}$ na intervalu $[a, b]$:

$$\{(x_i, f(x_i)) \mid i \in \mathbb{N}_n, x_i \in [a, b]\}$$

- **interpolace** - konstrukce funkce $\tilde{f} : [a, b] \mapsto \mathbb{R}$ pouze ze znalosti $(x_i, f(x_i))$ tak, aby

$$\tilde{f}(x_i) = f(x_i) \quad \forall i \in \mathbb{N}_n \quad (1)$$

- **význam**: snaha **rekonstruovat** přibližnou hodnotu $f(x)$ pro každé $x \in [a, b]$ pomocí $\tilde{f}(x)$
- **aproximace** - obecná rekonstrukce hodnot funkce f bez podmínky (1)

Poznámka: $\mathbb{N}_n = \{k \in \mathbb{Z} \mid 0 \leq k < n\} = \{0, 1, 2, \dots, n-1\}$

Interpolace v 1D

Interpolace nejbližším sousedem

- jinak též **po částech konstantní interpolace**
- obvykle *ekvidistantní* rozdělení intervalu

$$x_i = a + ih$$

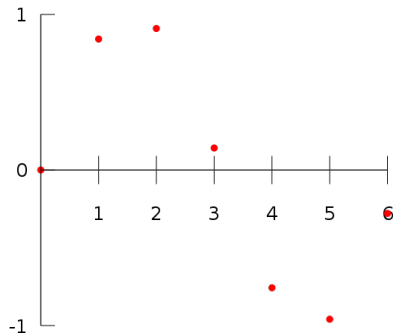
kde

$$h = \frac{(b-a)}{n-1}$$

- definujeme

$$\tilde{f}(x) = f(x_i)$$

$$\forall x \in \left(\left(x_i - \frac{h}{2}, x_i + \frac{h}{2} \right) \cap [a, b] \right)$$



Interpolace v 1D

Interpolace nejbližším sousedem

- jinak též **po částech konstantní interpolace**
- obvykle *ekvidistantní* rozdělení intervalu

$$x_i = a + ih$$

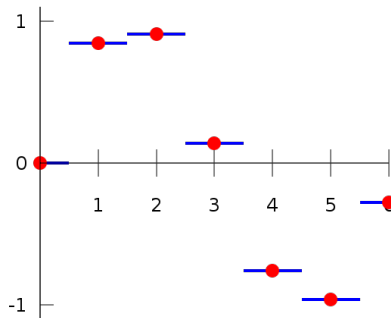
kde

$$h = \frac{(b-a)}{n-1}$$

- definujeme

$$\tilde{f}(x) = f(x_i)$$

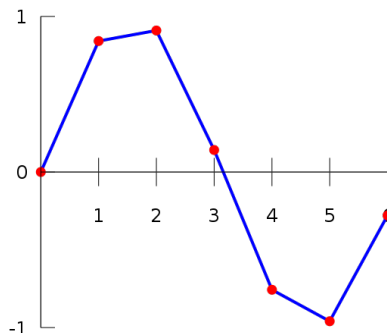
$$\forall x \in \left(\left(x_i - \frac{h}{2}, x_i + \frac{h}{2} \right) \cap [a, b] \right)$$



Interpolace v 1D

Lineární interpolace

- dva sousední body spojeny úsečkou



- definujeme

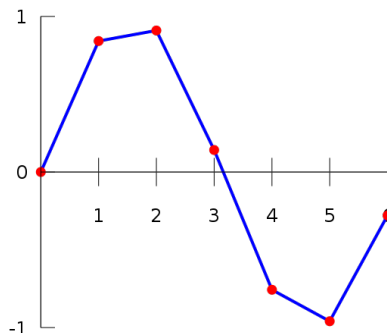
$$\tilde{f}(x) = \frac{x_{i+1} - x}{x_{i+1} - x_i} f(x_i) + \frac{x - x_i}{x_{i+1} - x_i} f(x_{i+1})$$

$$\forall x \in [x_i, x_{i+1}]$$

Interpolace v 1D

Lineární interpolace

- dva sousední body spojeny úsečkou



- definujeme

$$\tilde{f}(x) = f(x_i) + \frac{x - x_i}{x_{i+1} - x_i} (f(x_{i+1}) - f(x_i))$$

$$\forall x \in [x_i, x_{i+1}]$$

Interpolace v 1D

Polynomiální interpolace 1/2

- úsečkou můžeme interpolovat 2 body (lineární interpolace)
- n bodů lze interpolovat polynomem $L(x)$ stupně $n-1$
- definujeme

$$\Phi_i(x) = \frac{\prod_{\substack{k=1 \\ k \neq i}}^n (x - x_k)}{\prod_{\substack{k=1 \\ k \neq i}}^n (x_i - x_k)},$$

potom $\Phi_i(x_j) = \delta_{ij}$

- Lagrangeův interpolační polynom má potom tvar

$$\tilde{f}(x) = L_n(x) = \sum_{i=1}^n f(x_i) \Phi_i(x)$$

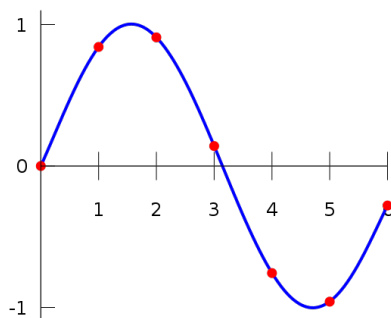
Interpolace v 1D

Polynomiální interpolace 2/2

- Lagrangeův polynom se nekonstruuje přímo, ale efektivně pomocí diferenčního schématu (viz Numerická matematika)
- extrémní hodnoty funkce $\tilde{f}(x)$ mohou ležet výrazně mimo interval

$$\left(\min_{i \in \mathbb{N}_n} f(x_i), \max_{i \in \mathbb{N}_n} f(x_i) \right)$$

⇒ tzv. *overshoot*



Interpolace v 1D

Interpolace kubikou

- **kubika**, kubický *spline* - křivka popsaná parametricky:
 $x = x(t), y = y(t)$
- $x(t), y(t)$ jsou polynomy 3. stupně
- interpolace po segmentech (spojení každých dvou bodů)
- koeficienty polynomů lze nalézt tak, aby výsledná křivka měla např. spojitou derivaci

$$\begin{pmatrix} \dot{x}(t) \\ \dot{y}(t) \end{pmatrix}$$

v bodech navazování segmentů

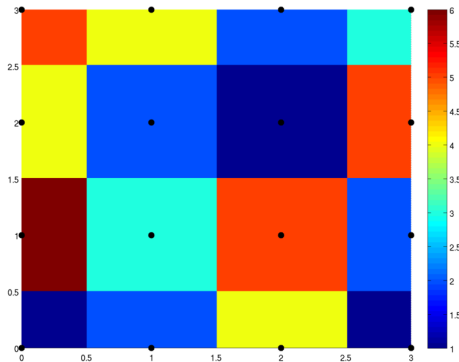
- segment křivky lze definovat pomocí tzv. **řídících bodů**
- mezi řídící body budou patřit i body $[x_i, f(x_i)]$
- detaily viz letní semestr, přednáška *Křivky a plochy*

Interpolace v 2D

Interpolace nejbližším sousedem

- pravidelná mřížka s rozestupem (velikostí oka sítě) $h = 1$
- vzorky funkce $f(x, y)$, tj. např. hodnoty intenzity pixelů $[i, j]$:

$$f_{i,j} = f(i, j)$$



- interpolace:

$$\tilde{f}(x, y) = f_{i,j}$$

$$\forall (x, y) \in \left(i - \frac{1}{2}, i + \frac{1}{2}\right) \times \left(j - \frac{1}{2}, j + \frac{1}{2}\right)$$

Interpolace v 2D

Bilineární interpolace

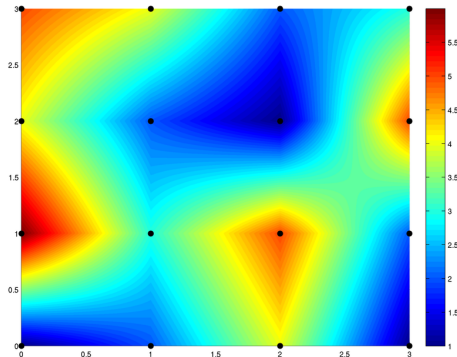
- **separabilní** procedura
- nejprve lineární interpolace ve směru osy x :

$$f_{x,j} = f_{i,j} + (x - i)(f_{i+1,j} - f_{i,j})$$

$$f_{x,j+1} = f_{i,j+1} + (x - i)(f_{i+1,j+1} - f_{i,j+1})$$

- poté lineární interpolace získaných hodnot ve směru y

$$\tilde{f}(x, y) = f_{x,j} + (y - j)(f_{x,j+1} - f_{x,j})$$



Interpolace v 2D

Bikubická interpolace

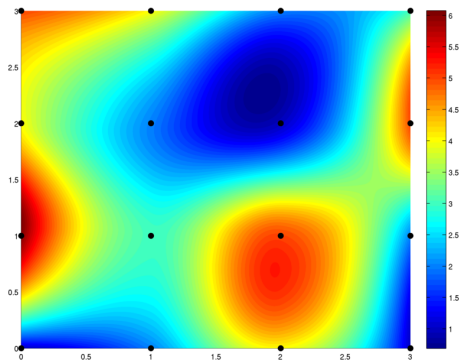
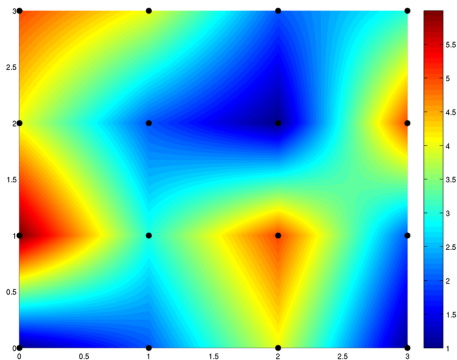
- interpolace bikubickou plochou mezi 4 body
 $[i,j],[i+1,j],[i,j+1],[i+1,j+1]$

- obecně

$$\tilde{f}(x,y) = \sum_{k=0}^3 \sum_{l=0}^3 a_{kl} x^k y^l$$

- 16 koeficientů a_{kl} lze odvodit z 4×4 podmínek pro 4 krajní body
 - rovnost funkčních hodnot $\tilde{f}(i,j) = f(i,j)$,
 $\tilde{f}(i+1,j) = f(i+1,j)$ atd.
 - rovnost derivací ve směru x : $\partial_x \tilde{f}(i,j) = \partial_x f(i,j)$, atd.
 - rovnost derivací ve směru y : $\partial_y \tilde{f}(i,j) = \partial_y f(i,j)$, atd.
 - rovnost smíšených derivací: $\partial_{xy}^2 \tilde{f}(i,j) = \partial_{xy}^2 f(i,j)$, atd.
- pokud derivace nejsou známy, lze je aproximovat konečnými diferencemi

Interpolace v 2D



Bilineární interpolace

Bikubická interpolace

- bikubická interpolace je náročnější, ale generuje hladší funkci

Interpolace barev

- neinterpolujeme skalární funkci, ale barvu
- musíme umět **sčítat barvy, násobit barvy skalárem**
- barva má 3 parametry - lze uvažovat jako vektor
- s vektory pracujeme standardně - po složkách
- vyjádření v různých barevných prostorech + interpolace parametrů po složkách \implies různý výsledek
 - viz přednáška *Vnímání a reprezentace barev*
- obvykle si vystačíme s prostorem RGB

Obsah

- 1 Interpolace
- 2 Geometrické transformace obrazu**
- 3 Alpha-blending, warping, morphing

Základní transformace

- změna velikosti obrazu
- rotace
- zrcadlení

Dva způsoby implementace transformace

- transformace obrazů $T : A \mapsto B$
- **dopředné mapování**: procházíme obrázek A pixelech, hledáme polohu transformovaného pixelu v obraze B (hledáme obraz bodu při zobrazení T)
- **zpětné mapování**: procházíme obrázek B po pixelech, hledáme polohu **vzoru** daného pixelu v obraze A při zobrazení $T \implies$ obvykle potřebujeme najít T^{-1}

Změna velikosti obrazu

problémy:

- 1 změní se počet pixelů
- 2 pixely mají po transformaci neceločíselné souřadnice

řešení:

- 1 procházíme pouze pixely cílového obrazu - použijeme zpětné mapování
- 2 na původní obrázek A použijeme interpolaci \implies intenzita obrazu je definována všude

výběr interpolačního algoritmu:

- **nejbližším sousedem** - nejrychlejší, ale při zvětšení je obraz kostrbatý, při zmenšení se ztrácí tenké objekty (čáry apod.) = aliasing
- **bilineární** - ve většině případů dostačující, při zvětšení rozmazává hrany
- **bikubická** - dostačující hladkost, lépe zachovává hrany

Rotace obrazu

- rotace o násobky 90° triviální
- rotace bodu kolem počátku o úhel α proti směru hodinových ručiček

$$x' = x \cos \alpha - y \sin \alpha$$

$$y' = y \cos \alpha + x \sin \alpha$$

- zpětná transformace je otočení o $-\alpha$

$$x = x' \cos \alpha + y' \sin \alpha$$

$$y = y' \cos \alpha - x' \sin \alpha$$

- opět použijeme interpolaci
- rotovaný obraz se vejde na větší „plátno“ než obraz původní
 - nutnost vypočítat rozměr plátna: pomocí rotace rohů obrazu
 - při zpětném mapování nutnost ošetřit souřadnice vzoru pixelu mimo obraz A

Obsah

- 1 Interpolace
- 2 Geometrické transformace obrazu
- 3 Alpha-blending, warping, morphing**

Prolnutí obrazů

- **alfa-míchání** (*alpha-blending*) dvou obrazů A_1, A_2 do jednoho obrazu B
- lineární interpolace barev (intenzit) pixelů na totožných pozicích

$$B(i,j) = A_1(i,j) + \alpha(A_2(i,j) - A_1(i,j))$$

- parametr α je průhlednost obrazu A_2 (A_1 je pozadí, A_2 popředí):
- $\alpha = 0 \implies$ zcela průhledný, $\alpha = 1 \implies$ neprůhledný
- v grafických akcelerátorech implementováno hardwarově
- **prolnutí** (*cross dissolve*) - animace sekvence n obrazů, kde

$$B_k(i,j) = A_1(i,j) + \frac{k}{n}(A_2(i,j) - A_1(i,j))$$

$$k = 0, 1, 2, \dots, n$$

Alfa míchání



Cross-dissolve efekt

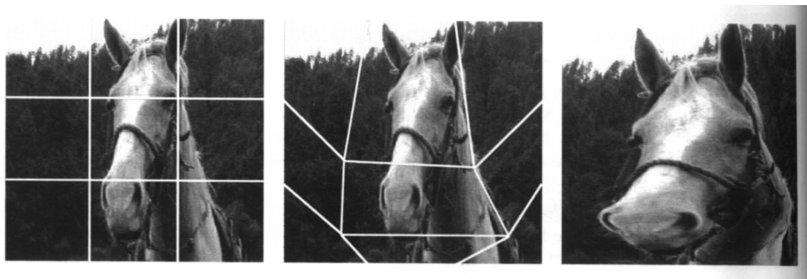
- Slideshow fotografií s efektem dissolve [Spustit video](#)

Warping

- deformace obrazu - nelineární transformace
- **síťový warping** - k obrazu je „přilepena“ síť.
 - pohybem uzlových bodů sítě deformujeme obraz
 - v každém oku sítě zůstává stále stejná část obrázku
 - vhodný pro globální deformace
- **úsečkový warping** (*feature based warping*) - místo sítě je v obraze množina nezávislých úseček, které k sobě váží své okolí
 - přemístěním úseček deformujeme obraz
 - vhodnější pro lokální změny

Síťový warping

- na obraz položíme pomyslnou síť
- spojnice uzlových bodů sítě mohou být přímky, kubické křivky (spliny) apod.
- změníme síť editací uzlových, resp. (v případě křivek) řídicích bodů

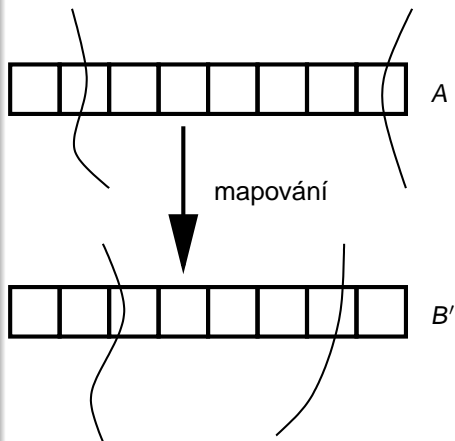


Síťový warping

Algoritmus

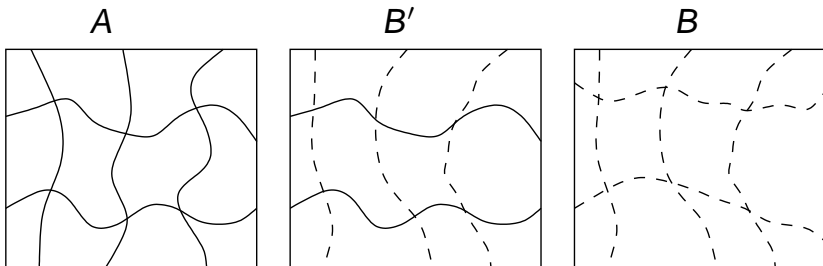
algoritmus je separabilní na dva kroky 1-2, 3-4:

- 1 určíme průsečíky každého řádku vstupního obrazu A s čarami ve svislém směru
- 2 získané intervaly se (lineárně) převzorkují na nový rozsah na modifikované síti
 \implies vznikne obraz B'
- 3 určíme průsečíky každého sloupce obrazu B' s čarami ve vodorovném směru
- 4 získané intervaly převzorkujeme \implies vznikne výsledný obraz B



Síťový warping

Algoritmus

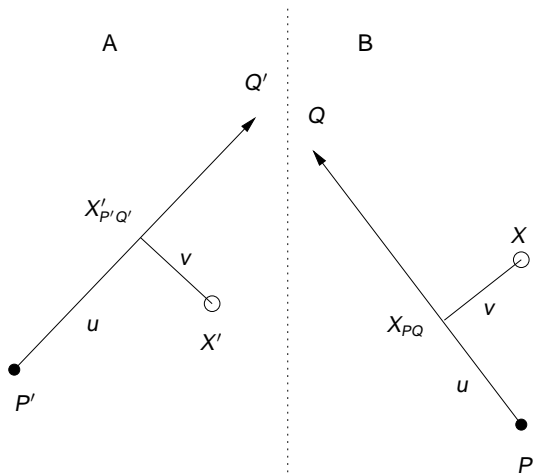


Dvouprůchodové zpracování sítě

Úsečkový warping

Transformace jedním párem úseček 1/2

- používáme **zpětné mapování** bodu X v B na bod X' v A
- úsečka \overline{PQ} definuje v obraze B souřadný systém:
 - u - poloha X_{PQ} podél úsečky škálovaná tak, že v bodě P je $u = 0$, v bodě Q je $u = 1$
 - v - vzdálenost od **přímky PQ**
- bod X' v A najdeme jako bod o souř. (u, v) vzhledem k $\overline{P'Q'}$



Úsečkový warping

Transformace jedním párem úseček 2/2

- souřadnice u : projekce vektoru $(X - P)$ do směru $(Q - P)$

$$u = \frac{(X - P) \cdot (Q - P)}{\|Q - P\|^2}$$

- analogicky souřadnice v :

$$v = \frac{(X - P) \cdot (Q - P)^\perp}{\|Q - P\|}$$

kde vektor $\mathbf{v}^\perp = (-y, x)$ je kolmý k vektoru $\mathbf{v} = (x, y)$

- souřadnice bodu X' pak dostaneme snadno jako

$$X' = P' + u(Q' - P') + v \frac{(Q' - P')^\perp}{\|Q' - P'\|}$$

- X' nemá celočíselné souřadnice \implies **interpolujeme**

Úsečkový warping

Transformace více páry úseček 1/4

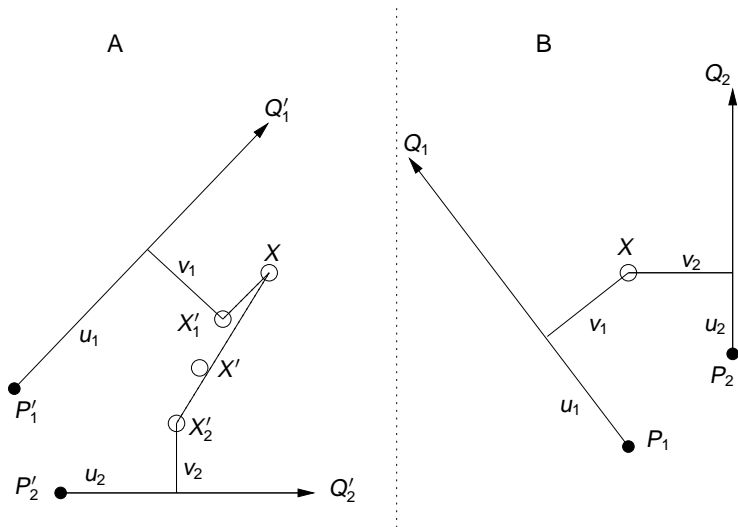
- transformace jedním párem úseček: posunutí, rotace, změna měřítka (afinní transformace)
- více párů úseček \implies více bodů X'
- je-li X'_i vzor bodu X při použití i -tého páru úseček a $\mathbf{D}_i = X'_i - X$ je odpovídající posunutí bodu X'_i , vypočítáme

$$X' = X + \frac{\sum_{i=1}^n w_i \mathbf{D}_i}{\sum_{i=1}^n w_i}, \text{ resp. přímo } X' = \frac{\sum_{i=1}^n w_i X'_i}{\sum_{i=1}^n w_i},$$

kde w_i je váha i -tého bodu X'_i závislá na vzdálenosti X od i -té úsečky

Úsečkový warping

Transformace více páry úseček 2/4



Úsečkový warping

Transformace více páry úseček 3/4

- váha w_i se určí jako

$$w_i = \left(\frac{|Q'_i - P'_i|^p}{(a + d_i)} \right)^b,$$

kde d_i je vzdálenost bodu X od **úsečky** $\overline{P_i Q_i}$, tj.

$$d_i = \begin{cases} |v| & u \in [0, 1] \\ \|P - X\| & u < 0 \\ \|Q - X\| & u > 1 \end{cases}$$

a a, b, p jsou parametry zadané uživatelem

Úsečkový warping

Transformace více páry úseček 4/4

- parametr $a > 0$ určuje vliv úsečky na nejbližší okolí.
 - pokud $a \approx 0$, váha bodu přímo na úsečce je hodně velká
 \implies bod na úsečce se zobrazí opět na bod na úsečce (přesná kontrola)
 - pokud a bude větší, warping bude hladší za cenu menší kontroly
 - lze např. $a = 0.001$.
- parametr b určuje rychlost slábnutí vlivu úsečky se vzdáleností
 - vhodné je $b \in [0.5, 2]$
- parametr $p \in [0, 1]$ určuje vliv délky úsečky na váhu
 - $p = 0 \implies$ stejný vliv nezávisle na délce
 - $p = 1 \implies$ čím delší, tím silnější vliv

Úsečkový warping

Správné rozmístění úseček

- úsečky by se neměly křížit, jinak vzniknou artefakty („bubliny“) - tzv. *Ghostbusting effect*
 - Ghostbusters:
 - „Don't cross the streams!“
 - „Why?“
 - „It would be bad.“
- úsečky by se měly dotýkat pouze na koncích, a to v obou obrázcích
- pokud nechceme, aby se X' mapovalo i mimo zdrojový obraz, můžeme definovat páry úseček na okrajích obrázků A, B
 - v opačném případě dodefinujeme okolí obrázku A např. černou

Úsečkový warping

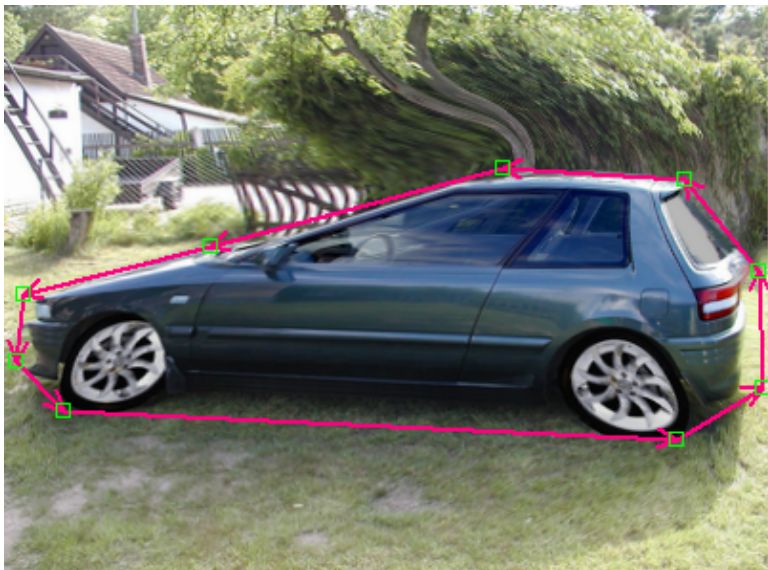
Správné rozmístění úseček

- úsečky by se neměly křížit, jinak vzniknou artefakty („bubliny“) - tzv. *Ghostbusting effect*
 - Ghostbusters:
 - „Don't cross the streams!“
 - „Why?“
 - „It would be bad.“
- úsečky by se měly dotýkat pouze na koncích, a to v obou obrázcích
- pokud nechceme, aby se X' mapovalo i mimo zdrojový obraz, můžeme definovat páry úseček na okrajích obrázků A, B
 - v opačném případě dodefinujeme okolí obrázku A např. černou

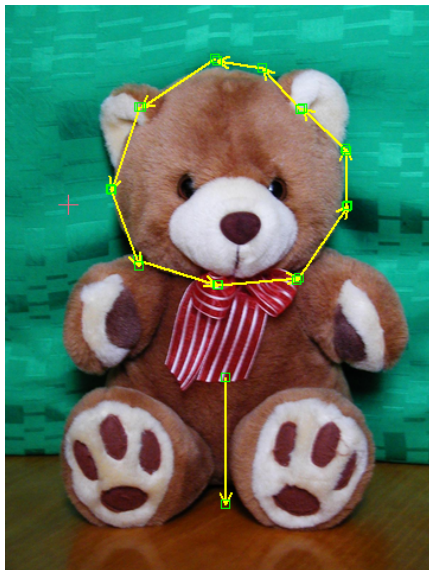
Úsečkový warping - příklady

[Spustit demo](#)

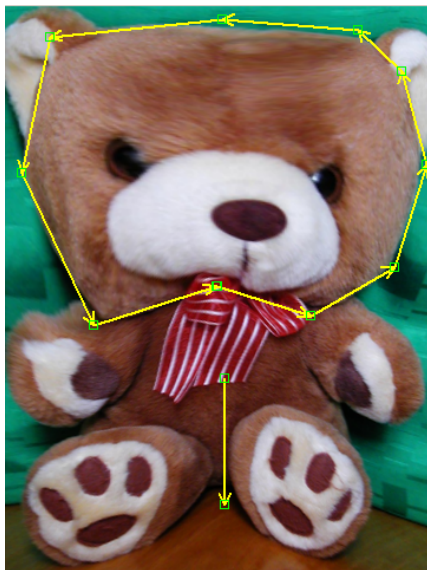
Úsečkový warping - příklady

[Spustit demo](#)

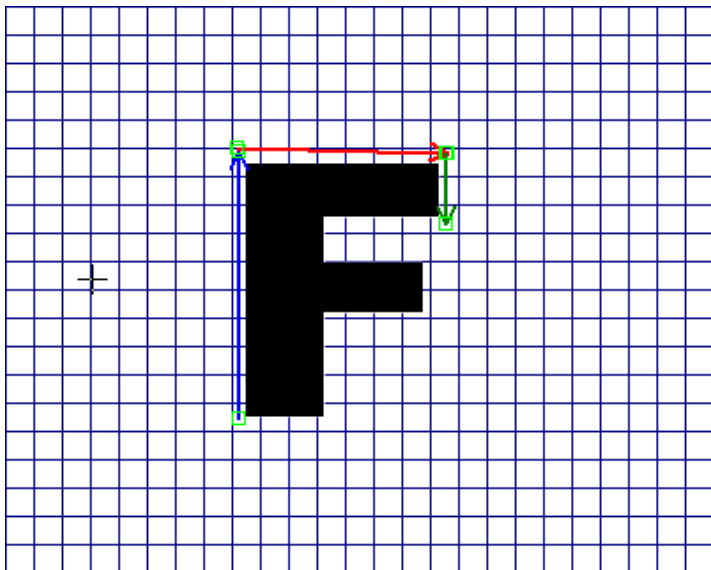
Úsečkový warping - příklady

[Spustit demo](#)

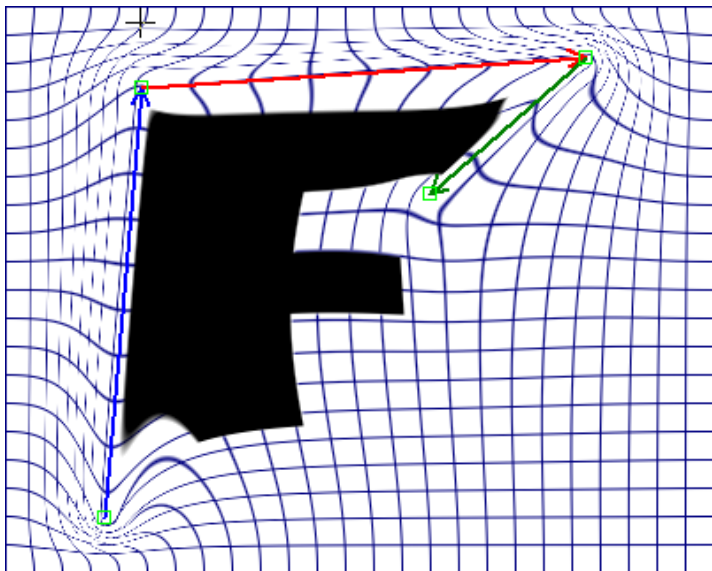
Úsečkový warping - příklady

[Spustit demo](#)

Úsečkový warping - příklady

[Spustit demo](#)

Úsečkový warping - příklady

[Spustit demo](#)

Morphing

- přeměna obrazu A v obraz B pomocí **warpingu** a **prolnutí**
- deformace obrazu obecně popsána systémem řídicích bodů (koncové body úseček, uzlové body sítě)
 - v obrazech A, B systémy bodů $\mathcal{T}_A = (p_i^A)_{i=1}^m$, $\mathcal{T}_B = (p_i^B)_{i=1}^m$

Tvorba M_k (k -tého snímku animace), $k = 0, 1, 2, \dots, n$

- 1 Vytvoř systém \mathcal{T}_k : $\forall i$ lineárně interpoluj souřadnice řídicích bodů

$$p_i^k = p_i^A + \frac{k}{n}(p_i^B - p_i^A)$$

- 2 warpuj $A \mapsto M_k^A$ přechodem od \mathcal{T}_A k \mathcal{T}_k
 $B \mapsto M_k^B$ přechodem od \mathcal{T}_B k \mathcal{T}_k
- 3 proved' cross-dissolve

$$M_k = M_k^A + \frac{k}{n}(M_k^B - M_k^A)$$

Morphing - příklady

- řídicí body pro warping vymezují analogické objekty ve zdrojovém a cílovém obrázku
 - při přeměně obličejů: oči, nos, ústa, uši, brada atd.
- Video „Brangelina“ [Spustit video](#)
- Video „Michael Jackson“ [Spustit video](#)
- Video „Michael Jackson: Black or White“ [Spustit video](#)

Literatura

-  T. Beier, S. Neely: *Feature-based image metamorphosis*. Computer graphics (SIGGRAPH '92 Proceedings) (1992), 35-42.
-  Žára, Beneš, Sochor, Felkel: *Moderní počítačová grafika*. Computer Press, 2005. ISBN: 80-251-0454-0